

Identification of superior genotypes of barley for cultivation in the south regions of Fars province using MGIDI & FAI-BLUP indices

Hassan Zali^{1*}, Alireza Pour-Aboughadareh²

1. Researcher Assistant Professor, Crop and Horticultural Science Research Department, Fars Agricultural and Natural Resources Research and Education Center, Agricultural Research, Education and Extension Organization (AREEO), Darab, Iran
2. Researcher Assistant Professor, Seed and Plant Improvement Institute, Agricultural Research, Education and Extension Organization (AREEO), Karaj, Iran

Citation: Zali, H., & Pour-Aboughadareh, A.R, (2023) Identification of superior genotypes of barley for cultivation in the south regions of Fars province using MGIDI , FAI-BLUP indices. *Plant Productions*, 46(3), 335-351.

Abstract

Introduction

Barley (*Hordeum vulgare* L.) has been known as one of the most adapted cereal crops to various environmental conditions. In addition, this cereal crop ranks fourth in the world in terms of economic importance after wheat, rice, and corn. Identification of high-yielding genotypes with highly desirable growth traits is one of the most important goals in barley breeding programs. However, the present study aimed to select superior genotypes based on grain yield and some morpho-phenological traits using different selection models.

Materials and methods

To identify superior genotypes of barley for cultivation in the warm and dry conditions in the southern regions in the Fars province, 21 genotypes were investigated in a randomized complete block with three replications during the 2021-2023 cropping seasons. During the plant growth and development, several morpho-phenological traits were recorded. Agronomic traits measured were days to spike emergence (DHE), days to maturity (DMA), plant height (PLH), grain filling period (GFP), grain yield (GY), 1000-kernel weight (TKW), spike length (SL), spike density (SD), awn length (AL), spike weight (SPW), number of grains per spike (NGS), row type (RT) and number of spikes per m² (NS). After collecting experimental data, statistical analyses were computed using SAS and R softwares

Results and Discussion

Results of the analysis of variance (ANOVA) showed that there is a significant difference among the investigated genotypes in terms of all the measured traits (except for Awn length and spike length). Based on the multi-trait genotype-ideotype distance index (MGIDI), genotypes G1

* Corresponding Author: Hassan Zali
E-mail: hzasli90@yahoo.com



(Oxin), G7, G3, and G14 with the lowest values were identified as superior genotypes. Moreover, the ideotype design via the best linear unbiased prediction (FAI-BLUP) model identified genotypes G20, G8, G2 (Golchin) and G1 (Oxin) as the desirable genotypes compared with other genotypes. The Venn diagram revealed that genotypes G1 and G7 were selected using both selection indices, simultaneously. The MGIDI index showed a positive and significant correlation with DHE (0.58**), while it negatively and significantly correlated with GFP (-0.51*) and GY (-0.74 **). The FAI-BLUP index showed a significant positive relationship with SL (0.50 *) and SPW (0.45*), while it negatively and significantly correlated with DHE (-0.47 *). To better evaluate and group the investigated genotypes, principal components analysis (PCA) was used. Results of the PCA showed that the first and second principal components explained 30.5 and 20.6 percent, respectively. Moreover, the results of the PCA showed that the selected genotypes based on MGIDI and FAI-BLUP indices are located in the 1st and 2nd regions of the PCA diagram. In total, the results showed that there is a relative compliance between the MGIDI and FAI-BLUP indices with PCA. Additionally, there was a high agreement between the MGIDI indices and the first principal component, and on the other hand, the second principal component showed a high agreement with the FAI-BLUP index.

Conclusion

In conclusion, the genotype G7 with the highest grain performance and the relative superiority in terms of MGIDI and FAI-BLUP indices was identified as a superior genotype compared to all reference genotypes. Hence, this genotype can be recommended for further comprehensive evaluation before commercial release in the southern regions in Fars province.

Key words: Biplot, Heat map, Multivariate selection, Multi-trait index, Venn plot

شناسایی ژنوتیپ‌های جو مناسب کشت در جنوب استان فارس با استفاده از شاخص‌های FAI-BLUP و MGIDI

حسن زالی^{۱*}، علیرضا پورابوقداره^۲

- ۱- استادیار پژوهشی، بخش تحقیقات علوم زراعی و باغی، مرکز تحقیقات و آموزش کشاورزی و منابع طبیعی فارس، سازمان تحقیقات، آموزش و ترویج کشاورزی، داراب، ایران
- ۲- استادیار پژوهشی، موسسه تحقیقات اصلاح و تهیه نهال و بذر، سازمان تحقیقات، آموزش و ترویج کشاورزی، کرج، ایران

چکیده

جو (*Hordeum vulgare L.*) به عنوان یکی از سازگارترین محصولات زراعی در بسیاری از مناطق مختلف جهان شناخته شده است. شناسایی ژنوتیپ‌هایی که عملکرد بالا را در بسیاری از صفات ترکیب می‌کنند یک کار چالش برانگیز بوده است. بنابراین، هدف از این مطالعه انتخاب ژنوتیپ‌های برتر جو بر اساس عملکرد دانه و تعدادی از صفات مورفوфонولوژیکی با استفاده از شاخص‌های FAI-BLUP و MGIDI بود. به منظور ارزیابی هفده لاین امیدبخش جو به همراه چهار ژنوتیپ شاهد، آزمایشی دو ساله (۱۴۰۰-۱۴۰۲) در قالب طرح بلوک‌های کامل تصادفی و در سه تکرار در ایستگاه تحقیقات کشاورزی و منابع طبیعی داراب انجام شد. نتایج تجزیه واریانس نشان داد که بین ژنوتیپ‌های مورد بررسی تفاوت معنی‌داری برای صفات مورد بررسی (به جزء طول ریشک و طول خوش) وجود دارد. بر مبنای شاخص فاصله ژنوتیپ-ایدئوتیپ چند صفتی (MGIDI) ژنوتیپ‌های G1 (اکسین)، G3 و G14 با کمترین مقدار این شاخص و بر اساس شاخص طراحی ایدئوتیپ از طریق پیش‌یابی نااریب بهترین خط (FAI-BLUP) ژنوتیپ‌های G20، G2 و G2 (گلچین) و G1 (اکسین) با بیشترین مقدار جزء ژنوتیپ‌های برتر بودند. در نمودار ون پلات ژنوتیپ‌های G1 و G8 و G7 جزء ژنوتیپ‌های انتخابی مشترک بین شاخص‌های FAI-BLUP و MGIDI بودند. شاخص MGIDI با تعداد روز تا گل‌دهی همبستگی مثبت و معنی‌داری (0.58^{**}) نشان داد، در حالی که همبستگی منفی و معنی‌داری با طول دوره پر شدن دانه (-0.51^{*}) و عملکرد دانه (-0.74^{**}) داشت. شاخص FAI-BLUP همبستگی مثبت و معنی‌داری با صفات طول سنبله (0.50^{*}) و وزن سنبله (0.45^{*}) و همبستگی منفی و معنی‌داری با تعداد روز تا گل‌دهی (0.47^{**}) نشان داد. نتایج تجزیه و مولفه‌های اصلی نشان داد که ژنوتیپ‌های انتخابی بر اساس هر دو شاخص FAI-BLUP و MGIDI و شاخص‌های PCA قرار دارند. در مجموع، ژنوتیپ G7 با بیشترین عملکرد دانه نسبت به همه ژنوتیپ‌های شاهد و برتر از نظر نمودار PCA قرار دارد. FAI-BLUP به عنوان ژنوتیپ مناسب، جهت بررسی‌های تکمیلی قبل از معرفی به عنوان رقم جدید در شهرستان‌های جنوبی استان فارس پیشنهاد می‌شود.

کلید واژه‌ها: انتخاب چند متغیره، بای پلات، شاخص‌های چندصفتی، نقشه حرارتی، ون پلات

کوواریانس فتوتیپی و ژنوتیپی و همچنین بردار وزن‌های اقتصادی استفاده می‌کنند تا تعیین کنند که چگونه بردار ضرایب شاخص باید انتخاب شود تا همبستگی مقادیر ناشناخته ژنتیکی و ارزش‌های فتوتیپی را به حداقل برسانند. از آنجایی که شاخص SH به معکوس کردن یک ماتریس کوواریانس فتوتیپی نیاز دارد (Hazel, 1943)، وجود چندخطی که مطمئناً هنگام ارزیابی چندین صفت ظاهر می‌شود، می‌تواند منجر به ماتریس‌های شرطی ضعیف و ضرایب شاخص اریب شود؛ بنابراین، بر تخمین دستاوردهای ژنتیکی تأثیر می‌گذارد.

برای این منظور، چندین شاخص انتخاب براساس چند صفت برای گزینش ژنوتیپ‌های برتر پیشنهاد شده است. این شاخص‌ها، چالش‌های اصلی که اغلب اصلاح کنندگان را در انتخاب بهترین ژنوتیپ‌ها محدود می‌کند و شامل بیان ارزش اقتصادی این گونه صفات و تبدیل آن‌ها به وزن‌دهی اقتصادی واقعی می‌باشد را بر طرف می‌سازد (Bizari *et al.*, 2017). در این شاخص‌ها اغلب سعی شده از تمامی صفات مهم به منظور انتخاب ژنوتیپ‌های برتر از نظر عملکرد دانه و سایر صفات مورد بررسی بدون توجه به همبستگی آنها با عملکرد دانه استفاده شود. در واقع هدف از این شاخص‌ها انتخاب غیرمستقیم برای عملکرد دانه بلکه هدف شناسایی ژنوتیپ‌های ایده‌آل از نظر عملکرد دانه بالا و سایر صفات مورد بررسی در حد امکان می‌باشد. از جمله این روش‌ها می‌توان به شاخص انتخاب ژنوتیپ ایده‌آل (SIIG (Zali *et al.*, 2023)، شاخص فاصله ژنوتیپ-ایدئوتیپ چند صفتی (Olivoto and MGIDI (Rocha *et al.*) FAI-BLUP (Nardino, 2020) و شاخص (al., 2018) اشاره کرد.

شاخص MGIDI می‌تواند به طور هم‌زمان بسیاری از صفات و یا شاخص‌ها در نظر بگیرد و همچنین نقاط قوت و ضعف ژنوتیپ‌های مورد آزمایش را ارزیابی کند (Olivoto and Nardino, 2020). استفاده از شاخص MGIDI در شناسایی ژنوتیپ‌های برتر جو بر مبنای صفات

مقدمه

جو (Hordeum vulgare L) به عنوان متحمل ترین گیاه زراعی نسبت به خشکی در بین غلات زودرس شناخته شده است و بهدلیل تنوع ژنتیکی بالا، به خوبی با شرایط مختلف محیطی سازگار است (Bengtsson, 1992; Pureisa *et al.*, 2015; Pour-Aboughadareh *et al.*, 2022) از نظر اهمیت اقتصادی در مقام چهارم جهان قرار گرفته است (Pour-Aboughadareh *et al.*, 2023a).

یکی از اهداف مهم اصلاح نباتات، شناسایی ژنوتیپ‌هایی با خصوصیات زراعی مطلوب و عملکرد دانه بالا است. معمولاً انتخاب ژنوتیپ‌هایی با کارایی بالا برای چند صفت به طور هم‌زمان دشوار و یا به عبارتی چالش برانگیز خواهد بود (Shayan *et al.*, 2020). از این‌رو، شاخص‌های گزینشی متعددی توسط بهزادگران برای شناسایی ژنوتیپ‌های برخوردار از مجموعه‌ای از صفات مطلوب زراعی توسعه و معرفی شده است. اولین شاخص برای انتخاب هم‌زمان در اصلاح نباتات توسط اسمیت (Smith, 1936) و در اصلاح دام توسط هازل (Hazel, 1943) پیشنهاد شد. این شاخص بر اساس انتخاب مقادیر ژنتیکی ناشناخته است، بنابراین استفاده از مقادیر فتوتیپی و کوواریانس‌های ژنتیکی برای تعیین چگونگی انتخاب یک بردار وزنی به منظور به حداقل رساندن همبستگی مقادیر ژنتیکی ناشناخته و ارزش‌های فتوتیپی ضروری است (Hazel *et al.*, 1994).

در حال حاضر، شاخص کلاسیک اسمیت-هیزل (SH) با موفقیت مورد استفاده قرار گرفته است. با این حال، یکی از مشکلات استفاده از این شاخص، فقدان رویه‌ای برای وزن‌دادن به صفات با اهمیت اقتصادی است (Cerón- (Rojas *et al.*, 2006; Stephens *et al.*, 2012) از پارامترها مانند ضریب تنوع ژنتیکی (Bhering *et al.*, 2012) و وراثت‌پذیری خصوصی به عنوان وزن‌های اقتصادی نسبی مورد استفاده قرار می‌گیرند. برای محاسبه شاخص SH، اصلاح کنندگان از ماتریس‌های واریانس-

آمار هواشناسی منطقه اجرای آزمایش طی سال‌های زراعی ۱۴۰۰-۱۴۰۲ در شکل ۱ و شجره لاین‌های انتخابی در جدول ۱ نشان داده شده است.

شاخص‌های انتخاب مبتنی بر چند صفت
برای انتخاب ژنوتیپ‌های برتر جو و رتبه‌بندی آنها از شاخص‌های MGIDI (Olivoto and Nardino, 2020) و FAI-BLUP (Rocha et al., 2018) استفاده شد.

شاخص MGIDI

مراحل محاسبه آن به صورت زیر بود:

۱- تغییر مقیاس صفات (شاخص‌ها): zj_i یک جدول دو طرفه با r ردیف یا ژنوتیپ و j ستون یا صفت می‌باشد. مقدار تغییر مقیاس یافته برای ردیف r و ستون j (rX_{ij}) به صورت رابطه ۱ محاسبه گردید:

$$\text{rX}_{ij} = \frac{\eta_{nj} - \varphi_{nj}}{\eta_{oj} - \varphi_{oj}} \times (\theta_{ij} - \eta_{oj}) + \eta_{nj}$$

φ_{oj} و η_{oj} به ترتیب مقدار اصلی حداقل و حداکثر برای صفت j هستند. φ_{nj} و η_{nj} به ترتیب مقدار جدید حداقل و حداکثر برای صفت j پس از تغییر مقیاس هستند و $\eta_{nj} - \varphi_{nj}$ مقدار اصلی برای صفت j از ژنوتیپ آن است. برای تغییر مقیاس، مقدار η_{nj} و φ_{nj} به صورت زیر محاسبه شدند: برای صفاتی که در آن‌ها مقدار بالا مورد نظر است، φ_{nj} برابر با صفر و η_{nj} برابر با ۱۰۰ در نظر گرفته شد، در حالی که برای صفاتی که در آن‌ها مقدار پایین مورد نظر بود، φ_{nj} برابر با ۱۰۰ و η_{nj} برابر با صفر در نظر گرفته شد. در جدول دو طرفه تغییر مقیاس یافته (rX_{ij}), هر ستون دارای محدوده ۰-۱۰۰ است که مفهوم انتخاب مورد نظر (افزایش یا کاهش) را در نظر می‌گیرد و ساختار همبستگی مجموعه اصلی متغیرها را حفظ می‌کند.

۲- تجزیه به عامل‌ها: در مرحله بعد، تحلیل عاملی (FA) برای محاسبه کاهش ابعاد داده‌ها و ساختار روابط انجام شد. این تحلیل بر اساس رابطه ۲ انجام شد:

$$\text{F} = \text{Z}(\text{A}^T \text{R}^{-1})^T \quad (2)$$

که در آن F یک ماتریس $f \times g$ با مقدار عامل‌ها است، Z یک ماتریس $p \times g$ با میانگین استاندارد شده (تغییر مقیاس یافته) است، A یک ماتریس $f \times p$ از

مورفولوژیک در سایر تحقیقات نیز گزار ش شده است Shirzad et al., 2022; Pour-Aboughadareha et al., 2023a; Zali et al., 2023a

شاخص FAI-BLUP بر اساس تجزیه و تحلیل عاملی است که بر مبنای فاصله هر کدام از ژنوتیپ‌ها از ژنوتیپ ایده‌آل برآورد می‌شود. محاسبه چنین شاخص چند صفتی اثرات ژنتیکی را با مدل‌های ترکیبی پیش‌بینی می‌کند و محاسبه مقادیر ژنتیکی با استفاده از REML/BLUP (Resende, 2016) استراتژی مناسبی برای انتخاب ژنوتیپ‌ها است (Rocha et al., 2018). Zali et al. (2023a) از شاخص FAI-BLUP بهمنظور شناسایی ژنوتیپ‌های برتر جو استفاده نمودند و در نهایت با استفاده از این شاخص یک ژنوتیپ زودرس را به عنوان ژنوتیپ برتر معرفی نمودند.

هدف از این تحقیق ارزیابی شاخص‌های مختلف انتخاب چندصفتی و انتخاب ژنوتیپ‌های برتر جو بر اساس صفات مختلف مورفو-فنولوژیک بود.

مواد و روش‌ها

نحوه اجرای آزمایش

به منظور ارزیابی هدفه لاین امیدبخش جو به همراه چهار ژنوتیپ شاهد (اکسین، گلچین، نوروز و ۱۰- WB-98)، یک آزمایش دوساله (۱۴۰۰-۱۴۰۲) در قالب طرح بلوک-های کامل تصادفی و در سه تکرار در ایستگاه تحقیقات کشاورزی و منابع طبیعی داراب انجام شد.

ژنوتیپ‌های مورد بررسی در پانزدهم آذر ماه در شش خط به طول شش متر به فاصله ۱۵ سانتی‌متر از یکدیگر کشت و به صورت تیپ آبیاری شدند. میزان بذر مصرفی با در نظر گرفتن وزن هزاردانه و بر مبنای ۳۰۰ دانه در متر مربع تعیین گردید. صفات مورد بررسی شامل عملکرد دانه، تعداد سنبله در متر مربع، تعداد دانه در سنبله، وزن سنبله، وزن هزار دانه، تراکم سنبله، طول دوره پر شدن دانه، طول ریشه‌ک، طول سنبله، ارتفاع بوته، تعداد روز تا ظهور سنبله و تعداد روز تا رسیدگی بود.

زالی و پور ابوقداره: شناسایی ژنوتیپ‌های جو مناسب کشت...

که در آن P_{ij} احتمال مشابه بودن ژنوتیپ λ_m ، $(i=1, 2, \dots, n)$ با یدئوتیپ λ_m ($j=1, 2, \dots, m$) است. علاوه بر این p_f و p_t به ترتیب تعداد ژنوتیپ‌ها، عامل‌های باقیمانده (عامل‌هایی که مقدار ویژه آن‌ها از یک بیشتر است) و شاخص‌های محاسبه شده را نشان می‌دهند.

بارگذاری متعارف است و R یک ماتریس همبستگی $\times p$ بین صفات است. علاوه بر این g ، f و t به ترتیب تعداد ژنوتیپ‌ها، عامل‌های باقیمانده (عامل‌هایی که مقدار ویژه آن‌ها از یک بیشتر است) و شاخص‌های محاسبه شده را نشان می‌دهند.

نرم افزارهای مورد استفاده

به منظور انجام تجزیه واریانس از نرم‌افزار SAS Version 9.0 استفاده شد. برای برآورد شاخص‌های FAI-BLUP و MGIDI از بسته تجزیه آزمایش‌های چندمحیطی (Olivoto and Lúcio, 2020) metan (Olivoto and Lúcio, 2020) Factoextra (Kassambara and Mundt, 2020) R (Version 4.2.2) استفاده شد.

نتایج و بحث

نتایج تجزیه واریانس مرکب (جدول ۲) نشان داد اثر سال برای تمام صفات مورد بررسی در سطح احتمال یک درصد معنی‌دار است (به‌جزء صفت طول خوش) که این نتایج تفاوت معنی‌دار بین سال‌های اجرای آزمایشات را نشان می‌دهد. همچنین نتایج نشان داد که بین ژنوتیپ‌های مورد بررسی تفاوت معنی‌داری در سطح احتمال یک درصد برای همه صفات مورد بررسی (به‌جزء طول ریشک و طول خوش) وجود دارد که این مطلب تنوع بین ژنوتیپ‌ها را نشان می‌دهد و از طرفی شاید بتوان ژنوتیپ‌هایی با خصوصیات زراعی مطلوب را در صورت وجود شناسایی و انتخاب نمود.

در شکل ۲، نتایج نقشه حرارتی صفات مختلف مورد بررسی در آزمایش دوساله (۱۴۰۰-۱۴۰۲) نشان داده شده است. در تمام صفات مورد بررسی (به‌جزء تراکم خوش) تفاوت میان نتایج سال اول و دوم اجرای آزمایش دو ساله کاملاً مشهود بود. در واقع نتایج نشان‌دهنده بالا بودن مقدار همه صفات در سال دوم اجرای آزمایش نسبت به سال اول بود. نتایج داده‌های هواشناسی در شکل ۱ نشان داد که متوسط درجه دمای حداقل، حدکثر و میانگین در سال زراعی ۱۴۰۱-۱۴۰۲ از متوسط درجه حرارت در سال

۳- تعریف ژنوتیپ ایده‌آل (ایدئوتیپ): طبق تعریف رابطه (۱)، ایدئوتیپ دارای بالاترین مقدار تغییر مقیاس (۱۰۰) برای همه صفات مورد بررسی است. بنابراین، ایدئوتیپ را می‌توان با یک بردار $I^{1 \times p}$ تعریف کرد به طوری که I برابر $100, 100, \dots, 100$ باشد. نمرات I نیز بر اساس رابطه (۲) تخمین زده شدند.

۴- محاسبه شاخص MGIDI: در مرحله آخر، فاصله اقلیدسی بین نمرات ژنوتیپ‌ها و ژنوتیپ‌های ایده‌آل به عنوان شاخص MGIDI با استفاده از رابطه ۳ محاسبه شد:

$$\text{MGIDI} = \sum_{i=1}^f [(Y_{ij} - \gamma_j)^2]^{0.5} \quad (3)$$

از امتیاز γ_i این ژنوتیپ در فاکتور λ_m است ($i = 1, 2, \dots, f$) و t به ترتیب تعداد ژنوتیپ‌ها و عامل‌ها است، γ_j نمره λ_m ایدئوتیپ است. ژنوتیپ‌هایی با کمترین مقدار MGIDI به ژنوتیپ ایده‌آل نزدیک‌تر هستند. دیفرانسیل انتخاب برای همه صفات/شاخص‌ها با در نظر گرفتن شدت انتخاب ۱۵ درصد انجام شد (Olivoto and Nardino, 2020).

شاخص FAI-BLUP

شاخص FAI-BLUP یک شاخص چندصفتی مبتنی بر تحلیل عاملی است و بر اساس فاصله هر کدام از ژنوتیپ‌ها از ژنوتیپ ایده‌آل (ایدئوتیپ) برآورد گردید. پس از تعیین ایدئوتیپ، فواصل هر ژنوتیپ بر اساس ایدئوتیپ (فاصله ژنوتیپ-ایدئوتیپ) برآورد و به احتمال خاصی^۱ تبدیل شده و رتبه‌بندی ژنوتیپ‌ها را امکان‌پذیر می‌کند. از رابطه ۴ استفاده شد:

$$P_{ij} = \frac{\frac{1}{d_{ij}}}{\sum_{i=1, j=1}^{i=n, j=m} \frac{1}{d_{ij}}} \quad (4)$$

۱- spatial probability

در جدول ۳ نتایج مقایسه میانگین صفات مختلف مورد بررسی نشان داده شده است. نتایج مقادیر حداکثر و حداقل صفات نشان داد تنویر قابل ملاحظه‌ای بین ژنوتیپ‌های مورد بررسی وجود دارد. به عنوان نمونه از نظر زودرسی ژنوتیپ-های G13 و G21 (نوروز) با ۱۲۷ و ۱۳۶ روز، به ترتیب جزء زودرس‌ترین و دیررس‌ترین ژنوتیپ‌های این تحقیق بودند. همچنین ژنوتیپ‌های G6 و G7 با عملکرد دانه-ترین و پرمحصول‌ترین ژنوتیپ‌ها در شرایط این تحقیق در سال‌های زراعی ۱۴۰۰-۱۴۰۲ بودند.

زراعی ۱۴۰۰-۱۴۰۱ پایین‌تر است. در ضمن در سال زراعی ۱۴۰۱-۱۴۰۲، هم توزیع بارندگی مناسب‌تر است هم میزان بارندگی بیشتر می‌باشد. از طرفی در این سال در فروردین و اردیبهشت بارندگی ثبت شده است. بنابراین شاید همین عامل اقلیمی باعث شده است که در مجموع مقدار صفات در سال زراعی ۱۴۰۱-۱۴۰۲ از مقدار صفات در سال زراعی ۱۴۰۰-۱۴۰۱ بالاتر باشد. به عنوان مثال خنک بودن انتهای فصل مانع از بادزدگی جو شده و باعث افزایش وزن هزار دانه، که یکی از اجرای مهم عملکرد دانه است، شده است. در مجموع نتایج نقشه حرارتی با نتایج تجزیه واریانس مرکب تطابق دارد.

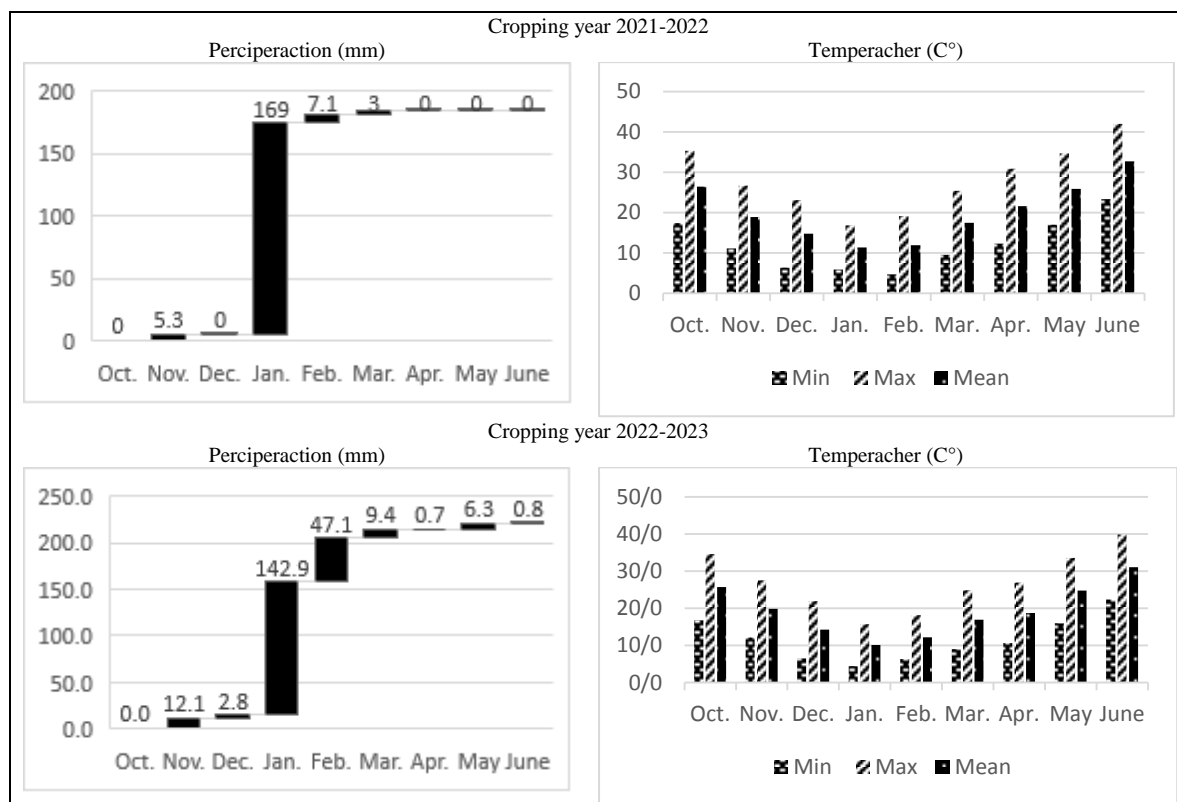


Figure 1. Monthly meteorological data in 2021–2023 cropping seasons in the Darab region.

زالی و پور ابوقداره: شناسایی ژنوتیپ‌های جو مناسب کشت...

Table 1. Pedigree of investigated barley genotypes in the present study

Genotypes	Pedigree
G1	Rojo/Sahra (Auxin)
G2	P.sto/3/Lbiran/Una80//Lignee640/4/Bllu/5/Petunia1 (Golchin)
G3	Rojo/3/LB.IRAN/Una8271//Gloria"S"/Com"S"/4/ Briges
G4	Rojo/3/LB.IRAN/Una8271//Gloria"S"/Com"S"/4/Rihane-03
G5	Zarjau/80-5151//OK84817ICBH94-0402-0AP-0AP-17AP-0AP-12AP-11AP-0AP-0TR-0TR-0AREC
G6	Zarjau/80-5151//OK84817ICBH94-0402-0AP-0AP-17AP-0AP-12AP-16AP-0AP-0TR-0TR-0AREC
G7	Lignee 527/NK1272//JLB 70-63/3/Rhn-03//Lignee527/As45
G8	KAROON/KAVIR//Rhodes'S'//Tb/Chzo/3/Gloria'S' /4/Sahra/5/Yousef
G9	Anodium/Arbayan-01/3/Lignee527/NK1272//JLB70-63/4/ Beecher
G10	Anodium/Arbayan-01/3/Lignee527/NK1272//JLB70-63/4/Bgs/Dujia/L.1242
G11	Bgs/Dajia//L.1242/3/(L.B.IRAN/Una8271//Gloria'S/3/Alm/Una80//....)/4/Nosrat/5/Rhn-03//L.527/NK1272
G12	CIRU/TOCTE
G13	Courlis/Rhn-03//Jonoob
G14	Zahak/4/Bgs/Dajia//L.1242/3/(L.B.IRAN/Una8271//Gloria'S/3/Alm/Una80//....)/4/Rojo...
G15	Rojo/3/LB.IRAN/Una8271//Gloria"S"/Com"S"/4/Gloria'S'/Copal'S'//As46/Aths/3/Rhn-03
G16	Rojo/3/LB.IRAN/Una8271//Gloria"S"/Com"S"/4/Anodium/Arbayan-01/3/Lignee527/...
G17	Merzaga(Orge077)/Alanda-01
G18	PENCO/CHEVRON-
	BAR/6/P.STO/3/LBIRAN/UNA80//LIGNEE640/4/BLLU/5/PETUNIA 1
G19	(Salt-4)LB.Iran/Una 8271//Gloria"S"/Come"s"-11M/3/Kavir/4/Karoon
G20	Yousef/3/Rhn-03//L.527/NK1272 (WB-98-10)
G21	GOB/Aleli//Canela/3/Arupo*2/Jet/4/Arupo/K8755//Mora (Norooz)

Table 2. Combined variance analysis for measured morpho-phonological traits in the studied barley genotypes

S.O.V	df	Mean square (MS)										
		DHE	DMA	PLH	GFP	TKW	GY	SL	AL	SPW	NGS	NS
Year	1	6414**	14529**	18408**	1636**	161.4	133148616**	2.87 ^{ns}	1643**	8.83**	3415**	47795**
Error 1	4	15.09	8.71	74.2	11.3	9.73	184722	1.08	5.7	0.185	41.7	3264
Genotype	20	28.83**	15.09**	510.4**	13.97**	89.9**	1048959**	4.66**	6.31**	0.274**	120**	23260**
Genotype × year	20	4.48 ^{ns}	2.38 ^{ns}	80.06 ^{ns}	6.94 ^{ns}	4.25 ^{ns}	95309**	0.88 ^{ns}	2.65 ^{ns}	0.132**	42.5**	81817**
Error 2	80	3.32	2.78	55.4	4.63	2.82	242866	1.08	1.56	0.057	19.33	1911
CV (%)		1.93	1.27	8.23	5.89	3.66	10.84	18.06	8.3	16.87	14.95	13.31

DHE: Days to spike emergence; DMA: Days to Maturity; PLH: Plant height (cm); GFP: Grain filling period (day); GY: Grain yield (kg ha^{-1}); TKW: 1000-kernel weight (g); SL: Spike length (cm); AL: Awning length (cm); SPW: Spike weight (g); NGS: Number of grains per spike; NS: Number of spikes per m^2 .

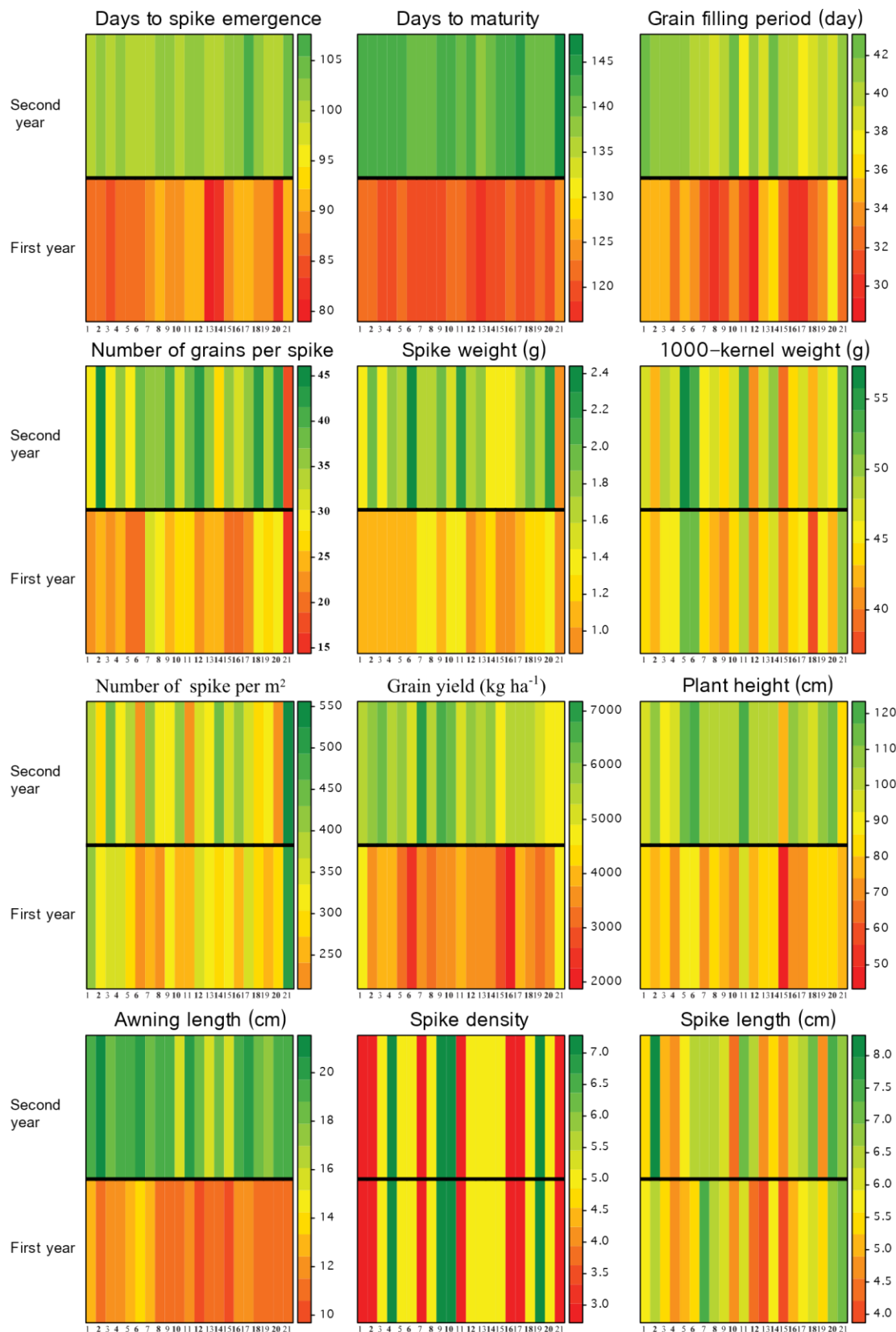


Figure 2. Heat maps related to the phenotypic variation of morpho-phonological traits in investigated barley genotypes.

Table 3. Mean values of measured traits for investigated barley genotypes

Genotypes code	Morpho-phonological traits											
	DHE (day)	DMA (day)	PLH (cm)	GFP (day)	TKW (g)	GY (kg h ⁻¹)	SL (cm)	SD	AL (cm)	SPW (g)	NGS	NS
G1	94	132	90	38.3	45.4	5086	5.5	3	15.8	1.25	25.5	406
G2	94	132	92	37.8	42.2	4607	7.2	3	15.8	1.53	34.6	318
G3	93	131	85	38	47.4	5024	5.2	5	15.5	1.27	25.3	390
G4	95	131	82	36.8	46.2	4712	4.8	7	15.5	1.46	30.5	334
G5	93	132	104	38.5	54.1	4523	5.3	5	16	1.43	25.4	327
G6	94	130	105	36.5	52.6	3821	5.8	5	16.8	1.72	29	224
G7	95	130	86	35.7	44.8	5329	6.8	3	15.5	1.56	32.9	337
G8	96	130	91	34.3	45	4257	6.3	5	15.2	1.56	32.2	277
G9	96	131	92	35.3	42.5	4960	6	7	15.2	1.56	32.7	316
G10	94	132	86	38	45.5	4802	4.6	7	13.2	1.42	29.7	336
G11	97	131	107	34.5	50.8	4409	6.6	3	15.8	1.79	32	249
G12	97	132	89	35	40.9	4857	5.4	5	14	1.36	32.2	358
G13	90	127	93	36.8	45.8	4588	4.4	5	13.7	1.45	29.8	322
G14	91	130	93	39.2	49	4670	5.6	5	14.7	1.31	25.3	365
G15	95	132	65	36.3	40	3844	4.4	5	12.7	1.14	27.4	337
G16	97	132	88	35	44	3847	5.6	3	15.8	1.17	25.9	328
G17	98	132	86	33.8	45.8	4703	6	3	16	1.36	28.8	348
G18	95	131	90	35.5	40.1	4400	6.5	5	14.7	1.54	36.1	290
G19	94	131	98	36.5	46.6	4100	5	7	14.5	1.47	29.4	279
G20	91	129	98	37.8	43.9	4211	7	5	15.3	1.8	35.9	244
G21	99	136	81	37.2	50.5	4662	6.8	3	14.8	0.92	16.9	512
Mean	95	131	91	36.5	45.9	4543	5.8	5	15.1	1	29.4	328
Min	90	127	65	33.8	40	3821	4.4	3	12.7	0.92	16.9	224
Max	99	136	107	39.2	54.1	5329	7.2	7	16.8	1.8	36.1	512
LSD _{0.05}	2.1	1.9	8.6	2.5	1.9	566	1.2	-	1.4	0.28	5.1	50.2

DHE: Days to spike emergence; DMA: Days to Maturity; PLH: Plant height (cm); GFP: Grain filling period (day); GY: Grain yield (kg ha⁻¹); TKW: 1000-kernel weight (g); SL: Spike length (cm); SD: Spike density; AL: Awning length (cm); SPW: Spike weight (g); NGS: Number of grains per spike; NS: Number of spikes per m².

تا ظهر سنبه و تعداد روز تا رسیدگی تعیین شد (جدول ۳). در این شاخص، ژنوتیپ‌هایی با کمترین مقدار، ایده آل ترین ژنوتیپ‌ها هستند؛ بنابراین، ژنوتیپ‌های انتخاب شده با استفاده از شاخص MGIDI ژنوتیپ‌های G1 (اکسین)، G7، G3 و G14 بودند (شکل ۳A). Shirzad *et al.* (2022) از شاخص MGIDI برای انتخاب ژنوتیپ‌های برتر جو با استفاده از ۱۳ صفت مورفو-فولوژیک استفاده نمودند و چون هیچ کدام از عامل‌ها، نتوانستند ژنوتیپ‌های برتر را بر اساس مقدار ایده‌آل همه صفات درونی خود دسته‌بندی نمایند؛ بنابراین نهایتاً ژنوتیپ‌هایی انتخاب نمودند که کمترین مقدار MGIDI را داشته و علاوه بر آن،

به‌منظور انتخاب ژنوتیپ‌های برتر بر مبنای صفات مورد بررسی، از شاخص MGIDI استفاده شد (جدول ۴ و شکل ۳A). در شکل ۳A، ژنوتیپ‌های انتخاب شده با استفاده از این شاخص با رنگ قرمز نشان داده شده‌اند و خارج از دایره قرمز مرکزی هستند. دایره قرمز مرکزی نقطه برش را با توجه به شدت انتخاب (۲۰ درصد) نشان می‌دهد.

در واقع در این تحقیق، ارزش ژنوتیپ‌ها بر اساس بالا بودن مقدار صفات عملکرد دانه، تعداد سنبه در متر مریع، تعداد دانه در سنبه، وزن سنبه، وزن هزار دانه، تراکم سنبه، طول دوره پر شدن دانه، طول ریشک و طول سنبه و از طرفی پایین بودن ارتفاع بوته، تعداد روز

در ضمن نتایج نشان داد عامل سوم (FA3) شامل صفات ارتفاع بوته و وزن هزار دانه بیشترین نقش را در انتخاب ژنوتیپ‌ها داشته و از طرفی عامل چهارم (FA4) شامل صفات عملکرد دانه، طول ریشک، طول خوش و تراکم خوش کمترین نقش را در انتخاب ژنوتیپ‌های تراکم خوش کمترین نقش را در انتخاب ژنوتیپ‌های برتر با استفاده از شاخص MGIDI داشته است (شکل ۳B). ارزیابی نقاط قوت و ضعف ژنوتیپ‌های انتخابی (شکل ۳B) به عنوان یک ابزار جدید برای تدوین استراتژی‌های مدیریت بهتر محصول عمل می‌کند. استفاده از شاخص‌هایی مانند MGIDI در مطالعات ارزیابی ژنوتیپ‌ها برای به حداقل رساندن محاسبات غیرضروری، شناخته شده است؛ بنابراین، توصیه ارقام برتر در مطالعات اصلاح نباتات در مورد محصولات زراعی با استفاده از این شاخص آسان‌تر می‌شود.

Benakanahalli *et al.* (2021) شاخص MGIDI به دلیل جدید بودن و سهولت در تفسیر داده‌ها با حداقل مسائل چندخطی، به عنوان ابزار جدیدی برای فرآیند انتخاب ژنوتیپ مورد نظر به طور همزمان در برنامه‌های اصلاح نباتات در چندین محیط عمل می‌کند. کارایی انتخاب ژنوتیپ‌ها در برنامه‌های اصلاحی اگر بر اساس صفات متعدد باشد می‌تواند مؤثرتر باشد، اما شناسایی ژنوتیپ‌هایی که عملکرد بالا را در بسیاری از صفات ترکیب می‌کنند، یک کار چالش‌برانگیز برای اصلاح کنندگان بوده است. MGIDI برای اصلاح کنندگانی که هدف‌شان انتخاب ژنوتیپ‌ها بر اساس صفات چندگانه است مفید می‌باشد؛ زیرا فرآیند انتخاب منحصر به فرد و قابل تفسیری را ارائه می‌دهد که ساختار همبستگی زیربنایی داده‌ها را در بر می‌گیرد و نیازی به ضریب وزنی دلخواه ندارد (Olivoto and Nardino, 2020).

عملکرد دانه آن‌ها از متوسط عملکرد دانه ژنوتیپ‌های انتخاب نشده بالاتر باشد. کاربرد شاخص MGIDI در Zali *et al.*, 2023a; Pour- سایر گیاهان از جمله جو (Aboughadareha *et al.*, 2023b and Poczaib, 2021Pour-Aboughadareha) گزارش شده است.

شکل ۳B نقاط قوت و ضعف ژنوتیپ‌های انتخابی را نشان می‌دهد. سهم عامل‌ها در شاخص MGIDI به دو دسته عامل‌هایی با سهم کمتر و سهم بیشتر طبقه‌بندی می‌شوند. بر اساس این نمودار کمترین سهم توجیه شده توسط یک عامل (نزدیک به لبه خارجی) نشان‌دهنده نزدیک بودن صفات درون آن عامل به حالت ایده‌آل است. نقطه‌چین نشان‌دهنده ارزش نظری است، در صورتی که همه عوامل به یک اندازه نقش داشته باشند. با توجه به این که هر صفت برای عامل‌هایی که سهم کمتری در آن‌ها دارد از لحاظ صفات درون آن عامل به تیمار ایده‌آل نزدیک‌تر است. به عنوان مثال نتایج نشان داد که مقدار پایین تعداد روز تا رسیدگی و مقدار بالای وزن خوش و تعداد دانه در خوش در انتخاب ژنوتیپ‌های برتر با استفاده از عامل اول (FA1) موثر بوده است. بنابراین ژنوتیپ G7 (نزدیک به لبه خارجی) برترین ژنوتیپ و ژنوتیپ G1 (نزدیک به لبه داخلی) یکی از ژنوتیپ‌های ضعیف از نظر عامل اول بودند. بنابراین، عامل اول تا حدودی توانسته ژنوتیپ‌هایی که هر مقدار سه صفت در آن به ایده‌آل نزدیک باشد را شناسایی کند. در واقع ژنوتیپ G7 با عملکرد دانه ۵۳۲۹ کیلوگرم در هکتار، وزن خوش ۱/۵۶ گرم، تعداد ۳۳۷ خوش در متر مربع، ۳۳ دانه در هر خوش، وزن هزار دانه ۴۴/۸ گرم و ۱۳۰ روز طول دوره رسیدگی، یکی از ژنوتیپ‌های برتر در شرایط این آزمایش بود (جدول ۳).

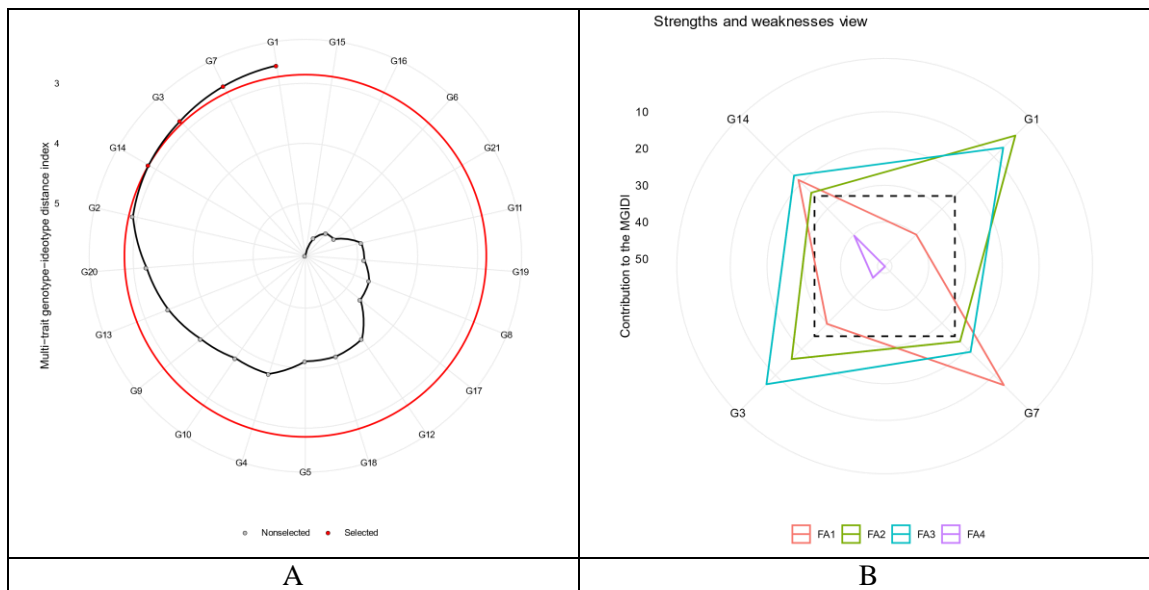


Figure 3. (A) Ranking of barley genotypes based on the MGIDI index. Selected genotypes are highlighted in red. (B) The strengths and weaknesses of genotypes are presented as the proportion of each factor on the computed MGIDI of all genotypes. The smaller the proportion explained by a factor (closer to the external edge), the closer the traits within that factor to the ideotype. FA1: DMA (days to maturity), SPW (spike weight) and NGS (number of grains per spike); FA2: DHE (Days to spike emergence) and GFP (grain filling period); FA3: PLH (plant height) and TKW (1000-kernel weight); and FA4: GY (grain yield), SL (spike length), SD (spike density) and AL (Awning length).

یک ژنوتیپ پرمحصول و زودرس را شناسایی و معرفی نمودند (Zali *et al.*, 2023a).

نتایج همبستگی بین صفات و شاخص‌های مورد بررسی در شکل ۵ نشان داده شده است. نتایج نشان داد عملکرد دانه تنها با صفت NS ($0/51^*$) همبستگی معنی‌داری دارد. شاخص MGIDI با DHE همبستگی مثبت و معنی‌داری ($0/58^{**}$) نشان داد، در حالی که همبستگی منفی و معنی‌داری با GFP ($-0/51^*$) و GY ($-0/74^{**}$) داشت. شاخص SL FAI-BLUP همبستگی مثبت و معنی‌داری با صفات SPW ($0/50^*$) و DHE ($0/47^*$) نشان داد. نتایج نشان داد همبستگی منفی و معنی‌داری در سطح احتمال یک درصد بین شاخص‌های FAI-BLUP و MGIDI مشاهده شد (شکل ۵). نتایج نمودارون‌پلات (شکل ۶)، که میزان ارتباط بین شاخص‌ها را نشان می‌دهد، نیز تأییدکننده این مطلب می‌باشد. در این نمودار ژنوتیپ‌های G1 و G7 جزء ژنوتیپ‌هایی انتخابی مشترک بین شاخص‌های MGIDI و FAI-BLUP بودند.

FAI-BLUP یک شاخص چند صفتی است که در این بررسی از حالت مدل مختلط به عنوان داده ورودی استفاده شده است. در این شاخص، ارزش ژنوتیپ‌ها براساس پیش فرض شاخص MGIDI انجام شد. بر اساس این شاخص ژنوتیپ‌هایی با بیشترین مقدار جزء ژنوتیپ‌های برتر می‌باشند (جدول ۴). دایره قرمز در شکل ۴ نشان دهنده نقطه برش FAI-BLUP با توجه به شدت انتخاب (۲۰ درصد) می‌باشد. بنابراین، ژنوتیپ‌های G1، G2، G8، G14، G15، G16، G17، G19، G20، G21، G3، G4، G5، G6، G7، G9، G10، G11، G12، G13، G18، G20، G21، G22، G23، G24، G25، G26، G27، G28، G29، G30، G31، G32، G33، G34، G35، G36، G37، G38، G39، G40، G41، G42، G43، G44، G45، G46، G47، G48، G49، G50، G51، G52، G53، G54، G55، G56، G57، G58، G59، G60، G61، G62، G63، G64، G65، G66، G67، G68، G69، G70، G71، G72، G73، G74، G75، G76، G77، G78، G79، G80، G81، G82، G83، G84، G85، G86، G87، G88، G89، G90، G91، G92، G93، G94، G95، G96، G97، G98، G99، G100، G101، G102، G103، G104، G105، G106، G107، G108، G109، G110، G111، G112، G113، G114، G115، G116، G117، G118، G119، G120، G121، G122، G123، G124، G125، G126، G127، G128، G129، G130، G131، G132، G133، G134، G135، G136، G137، G138، G139، G140، G141، G142، G143، G144، G145، G146، G147، G148، G149، G150، G151، G152، G153، G154، G155، G156، G157، G158، G159، G160، G161، G162، G163، G164، G165، G166، G167، G168، G169، G170، G171، G172، G173، G174، G175، G176، G177، G178، G179، G180، G181، G182، G183، G184، G185، G186، G187، G188، G189، G190، G191، G192، G193، G194، G195، G196، G197، G198، G199، G200، G201، G202، G203، G204، G205، G206، G207، G208، G209، G210، G211، G212، G213، G214، G215، G216، G217، G218، G219، G220، G221، G222، G223، G224، G225، G226، G227، G228، G229، G230، G231، G232، G233، G234، G235، G236، G237، G238، G239، G240، G241، G242، G243، G244، G245، G246، G247، G248، G249، G250، G251، G252، G253، G254، G255، G256، G257، G258، G259، G260، G261، G262، G263، G264، G265، G266، G267، G268، G269، G270، G271، G272، G273، G274، G275، G276، G277، G278، G279، G280، G281، G282، G283، G284، G285، G286، G287، G288، G289، G290، G291، G292، G293، G294، G295، G296، G297، G298، G299، G300، G301، G302، G303، G304، G305، G306، G307، G308، G309، G310، G311، G312، G313، G314، G315، G316، G317، G318، G319، G320، G321، G322، G323، G324، G325، G326، G327، G328، G329، G330، G331، G332، G333، G334، G335، G336، G337، G338، G339، G340، G341، G342، G343، G344، G345، G346، G347، G348، G349، G350، G351، G352، G353، G354، G355، G356، G357، G358، G359، G360، G361، G362، G363، G364، G365، G366، G367، G368، G369، G370، G371، G372، G373، G374، G375، G376، G377، G378، G379، G380، G381، G382، G383، G384، G385، G386، G387، G388، G389، G390، G391، G392، G393، G394، G395، G396، G397، G398، G399، G400، G401، G402، G403، G404، G405، G406، G407، G408، G409، G410، G411، G412، G413، G414، G415، G416، G417، G418، G419، G420، G421، G422، G423، G424، G425، G426، G427، G428، G429، G430، G431، G432، G433، G434، G435، G436، G437، G438، G439، G440، G441، G442، G443، G444، G445، G446، G447، G448، G449، G450، G451، G452، G453، G454، G455، G456، G457، G458، G459، G460، G461، G462، G463، G464، G465، G466، G467، G468، G469، G470، G471، G472، G473، G474، G475، G476، G477، G478، G479، G480، G481، G482، G483، G484، G485، G486، G487، G488، G489، G490، G491، G492، G493، G494، G495، G496، G497، G498، G499، G500، G501، G502، G503، G504، G505، G506، G507، G508، G509، G510، G511، G512، G513، G514، G515، G516، G517، G518، G519، G520، G521، G522، G523، G524، G525، G526، G527، G528، G529، G530، G531، G532، G533، G534، G535، G536، G537، G538، G539، G540، G541، G542، G543، G544، G545، G546، G547، G548، G549، G550، G551، G552، G553، G554، G555، G556، G557، G558، G559، G560، G561، G562، G563، G564، G565، G566، G567، G568، G569، G570، G571، G572، G573، G574، G575، G576، G577، G578، G579، G580، G581، G582، G583، G584، G585، G586، G587، G588، G589، G590، G591، G592، G593، G594، G595، G596، G597، G598، G599، G600، G601، G602، G603، G604، G605، G606، G607، G608، G609، G610، G611، G612، G613، G614، G615، G616، G617، G618، G619، G620، G621، G622، G623، G624، G625، G626، G627، G628، G629، G630، G631، G632، G633، G634، G635، G636، G637، G638، G639، G640، G641، G642، G643، G644، G645، G646، G647، G648، G649، G650، G651، G652، G653، G654، G655، G656، G657، G658، G659، G660، G661، G662، G663، G664، G665، G666، G667، G668، G669، G670، G671، G672، G673، G674، G675، G676، G677، G678، G679، G680، G681، G682، G683، G684، G685، G686، G687، G688، G689، G690، G691، G692، G693، G694، G695، G696، G697، G698، G699، G700، G701، G702، G703، G704، G705، G706، G707، G708، G709، G710، G711، G712، G713، G714، G715، G716، G717، G718، G719، G720، G721، G722، G723، G724، G725، G726، G727، G728، G729، G730، G731، G732، G733، G734، G735، G736، G737، G738، G739، G740، G741، G742، G743، G744، G745، G746، G747، G748، G749، G750، G751، G752، G753، G754، G755، G756، G757، G758، G759، G760، G761، G762، G763، G764، G765، G766، G767، G768، G769، G770، G771، G772، G773، G774، G775، G776، G777، G778، G779، G780، G781، G782، G783، G784، G785، G786، G787، G788، G789، G790، G791، G792، G793، G794، G795، G796، G797، G798، G799، G800، G801، G802، G803، G804، G805، G806، G807، G808، G809، G8010، G8011، G8012، G8013، G8014، G8015، G8016، G8017، G8018، G8019، G8020، G8021، G8022، G8023، G8024، G8025، G8026، G8027، G8028، G8029، G8030، G8031، G8032، G8033، G8034، G8035، G8036، G8037، G8038، G8039، G8040، G8041، G8042، G8043، G8044، G8045، G8046، G8047، G8048، G8049، G8050، G8051، G8052، G8053، G8054، G8055، G8056، G8057، G8058، G8059، G8060، G8061، G8062، G8063، G8064، G8065، G8066، G8067، G8068، G8069، G8070، G8071، G8072، G8073، G8074، G8075، G8076، G8077، G8078، G8079، G8080، G8081، G8082، G8083، G8084، G8085، G8086، G8087، G8088، G8089، G80810، G80811، G80812، G80813، G80814، G80815، G80816، G80817، G80818، G80819، G80820، G80821، G80822، G80823، G80824، G80825، G80826، G80827، G80828، G80829، G80830، G80831، G80832، G80833، G80834، G80835، G80836، G80837، G80838، G80839، G80840، G80841، G80842، G80843، G80844، G80845، G80846، G80847، G80848، G80849، G80850، G80851، G80852، G80853، G80854، G80855، G80856، G80857، G80858، G80859، G80860، G80861، G80862، G80863، G80864، G80865، G80866، G80867، G80868، G80869، G80870، G80871، G80872، G80873، G80874، G80875، G80876، G80877، G80878، G80879، G80880، G80881، G80882، G80883، G80884، G80885، G80886، G80887، G80888، G80889، G80890، G80891، G80892، G80893، G80894، G80895، G80896، G80897، G80898، G80899، G808100، G808111، G808122، G808133، G808144، G808155، G808166، G808177، G808188، G808199، G808200، G808211، G808222، G808233، G808244، G808255، G808266، G808277، G808288، G808299، G808300، G808311، G808322، G808333، G808344، G808355، G808366، G808377، G808388، G808399، G808400، G808411، G808422، G808433، G808444، G808455، G808466، G808477، G808488، G808499، G808500، G808511، G808522، G808533، G808544، G808555، G808566، G808577، G808588، G808599، G808600، G808611، G808622، G808633، G808644، G808655، G808666، G808677، G808688، G808699، G808700، G808711، G808722، G808733، G808744، G808755، G808766، G808777، G808788، G808799، G808800، G808811، G808822، G808833، G808844، G808855، G808866، G808877، G808888، G808899، G808900، G808911، G808922، G808933، G808944، G808955، G808966، G808977، G808988، G808999، G808100، G808111، G808122، G808133، G808144، G808155، G808166، G808177، G808188، G808199، G808200، G808211، G808222، G808233، G808244، G808255، G808266، G808277، G808288، G808299، G808300، G808311، G808322، G808333، G808344، G808355، G808366، G808377، G808388، G808399، G808400، G808411، G808422، G808433، G808444، G808455، G808466، G808477، G808488، G808499، G808500، G808511، G808522، G808533، G808544، G808555، G808566، G808577، G808588، G808599، G808600، G808611، G808622، G808633، G808644، G808655، G808666، G808677، G808688، G808699، G808700، G808711، G808722، G808733، G808744، G808755، G808766، G808777، G808788، G808799، G808800، G808811، G808822، G808833، G808844، G808855، G808866، G808877، G808888، G808899، G808900، G808911، G808922، G808933، G808944، G808955، G808966، G808977، G808988، G808999، G808100، G808111، G808122، G808133، G808144، G808155، G808166، G808177، G808188، G808199، G808200، G808211، G808222، G808233، G808244، G808255، G808266، G808277، G808288، G808299، G808300، G808311، G808322، G808333، G808344، G808355، G808366، G808377، G808388، G808399، G808400، G808411، G808422، G808433، G808444، G808455، G808466، G808477، G808488، G808499، G808500، G808511، G808522، G808533، G808544، G808555، G808566، G808577، G808588، G808599، G808600، G808611، G808622، G808633، G808644، G808655، G808666، G808677، G808688، G808699، G808700، G808711، G808722، G808733، G808744، G808755، G808766، G808777، G808788، G808799، G808800، G808811، G808822، G808833، G808844، G808855، G808866، G808877، G808888، G808899، G808900، G808911، G808922، G808933، G808944، G808955، G808966، G808977، G808988، G808999، G808100، G808111، G808122، G808133، G808144، G808155، G808166، G808177، G808188، G808199، G808200، G808211، G808222، G808233، G808244، G808255، G808266، G808277، G808288، G808299، G808300، G808311، G808322، G808333، G808344، G808355، G808366، G808377، G808388، G808399، G808400، G808411، G808422، G808433، G808444، G808455، G808466، G808477، G808488، G808499، G808500، G808511، G808522، G808533، G808544، G808555، G808566، G808577، G808588، G808599، G808600، G808611، G808622، G808633، G808644، G808655، G808666، G808677، G808688، G808699، G808700، G808711، G808722، G808733، G808744، G808755، G808766، G808777، G808788، G808799، G808800، G808811، G808822، G808833، G808844، G808855، G808866، G808877، G808888، G808899، G808900، G808911، G808922، G808933، G808944، G808955، G808966، G808977، G808988، G808999، G808100، G808111، G808122، G808133، G808144، G808155، G808166، G808177، G808188، G808199، G808200، G808211، G808222، G808233، G808244، G808255، G808266، G808277، G808288، G808299، G808300، G808311، G808322، G808333، G808344، G808355، G808366، G808377، G808388، G808399، G808400، G808411، G808422، G808433، G808444، G808455، G808466، G808477، G808488، G808499، G808500، G808511، G808522، G808533، G808544، G808555، G808566، G808577، G808588، G808599، G808600، G808611، G808622، G808633، G808644، G808655، G808666، G808677، G808688، G808699، G808700، G808711، G808722، G808733، G808744، G808755، G808766، G808777، G808788، G808799، G808800، G808811، G808822، G808833، G808844، G808855، G808866، G808877، G808888، G808899، G808900، G808911، G808922، G808933، G808944، G808955، G808966، G808977، G808988، G808999، G808100، G808111، G808122، G808133، G808144، G808155، G808166، G808177، G808188، G808199، G808200، G808211، G808222، G808233، G808244، G808255، G808266، G808277، G808288، G808299، G808300، G808311، G808322، G808333، G808344، G808355، G808366، G808377، G808388، G808399، G808400، G808411، G808422، G808433، G808444، G808455، G808466، G808477، G808488، G808499، G808500، G808511، G808522، G808533، G808544، G808555، G808566، G808577، G808588، G808599، G808600، G808611، G808622، G808633، G808644، G808655، G808666، G808677، G808688، G808699، G808700، G808711، G808722، G808733، G808744، G808755، G808766، G808777، G808788، G808799، G808800، G808811، G808822، G808833، G808844، G808855، G808866، G808877، G808888، G808899، G808900، G808911، G808922، G808933، G808944، G808955، G808966، G808977، G808988، G808999، G808100، G808111، G808122، G808133، G808144، G808155، G808166، G808177، G808188، G808199، G808200، G808211، G808222، G808233، G808244، G808255، G808266، G808277، G808288، G808299، G808300، G808311، G808322، G808333، G808344، G808355، G808366، G808377، G808388، G808399، G808400، G808411، G808422، G808433، G808444، G808455، G808466، G808477، G808488، G808499، G808500، G808511، G808522، G808533، G808544، G808555، G808566، G808577، G808588، G808599، G808600، G808611، G808622، G808633، G808644، G808655، G808666، G808677، G808688، G808699، G808700، G808711، G808722، G808733، G808744، G808755، G808766، G808777، G808

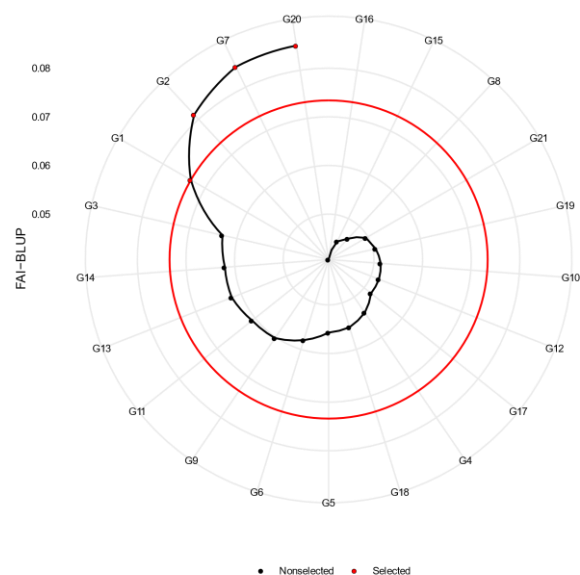
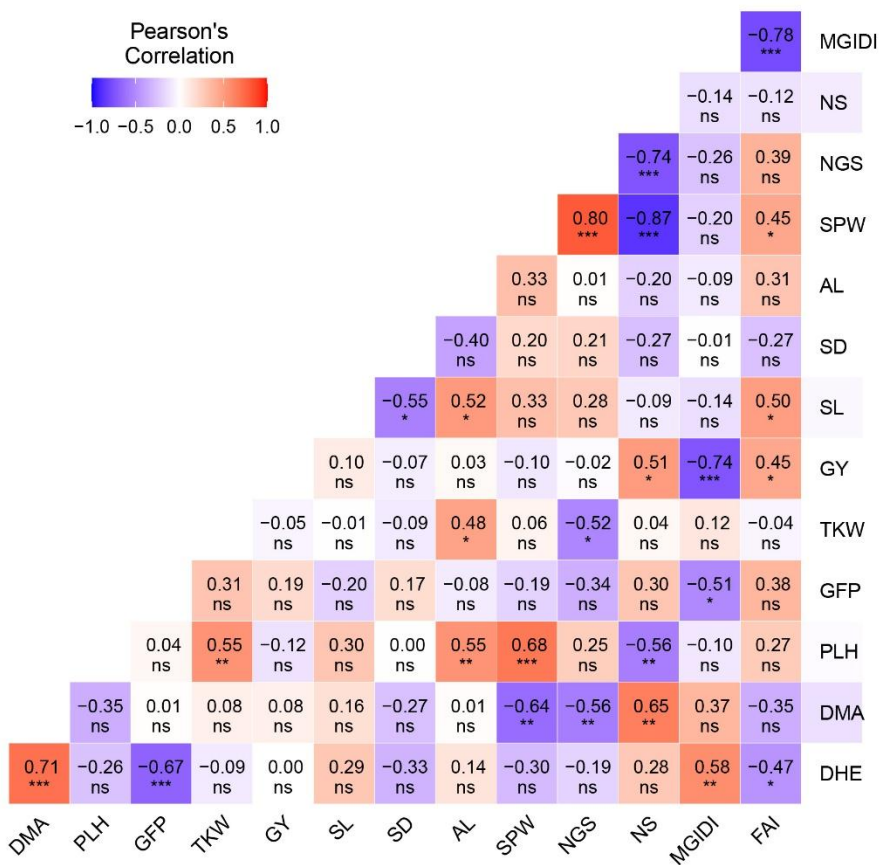


Figure 4. Ranking of barley genotype based on the FAI-BLUP model. Selected genotypes are highlighted in red.

Table 4. The results of selection indexes and its rank in the cropping years 2022-2023

Genotypes name	Genotypes code	Selection indexes			
		MGIDI	Rank	FAI	Rank
Auxin	G1	2.63	1	0.073	4
Golchin	G2	2.83	5	0.081	3
WB-00-3	G3	2.72	3	0.063	5
WB-00-4	G4	3.79	9	0.054	13
WB-00-5	G5	4.16	13	0.056	11
WB-00-6	G6	5.29	19	0.058	10
WB-00-7	G7	2.69	2	0.085	2
WB-00-8	G8	4.64	14	0.047	19
WB-00-9	G9	3.64	8	0.060	9
WB-00-10	G10	3.80	10	0.051	16
WB-00-11	G11	4.80	16	0.061	8
WB-00-12	G12	4.11	12	0.052	14
WB-00-13	G13	3.26	7	0.062	7
WB-00-14	G14	2.80	4	0.062	6
WB-00-15	G15	5.72	21	0.045	20
WB-00-16	G16	5.48	20	0.041	21
WB-00-17	G17	4.65	15	0.052	15
WB-00-18	G18	4.01	11	0.055	12
WB-00-19	G19	4.88	17	0.051	17
WB-98-10	G20	3.11	6	0.085	1
Norooze	G21	5.19	18	0.050	18



ns $p \geq 0.05$; * $p < 0.05$; ** $p < 0.01$; and *** $p < 0.001$

Figure 5. Correlation of morpho-phonological traits and selection indices in investigated barley genotypes. DHE: Days to spike emergence; DMA: Days to Maturity; PLH: Plant height (cm); GFP: Grain filling period (day); GY: Grain yield (kg ha^{-1}); TKW: 1000-kernel weight (g); SL: Spike length (cm); SD: Spike density; AL: Awning length (cm); SPW: Spike weight (g); NGS: Number of grains per spike; NS: Number of spikes per m^2 .

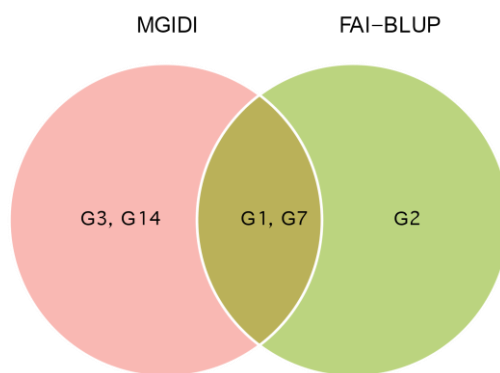


Figure 6. Venn plot indicating the relationships among the MGIDI and FAI models.

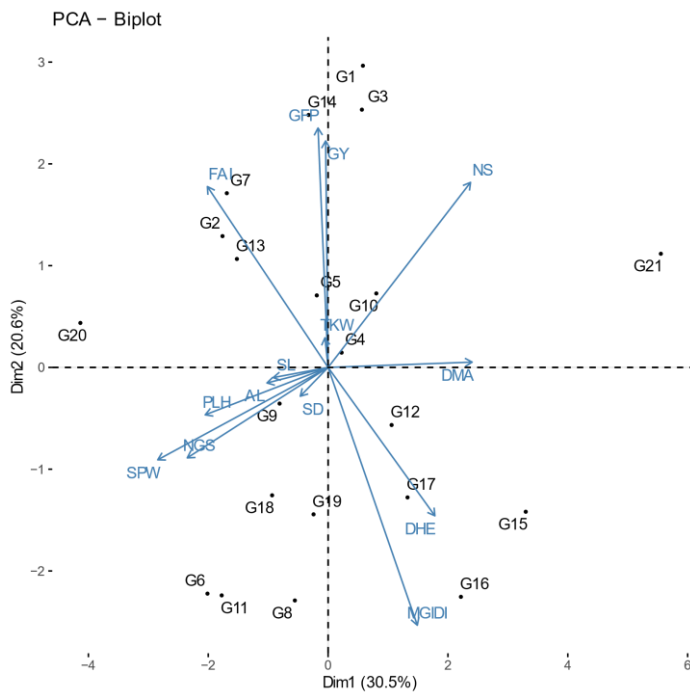


Figure 8. Biplot of principal components analysis for different investigated traits. DMA: Days to Maturity; **SPW:** Spike weight; **NGS:** Number of grains per spike; **DHE:** Days to spike emergence; **GFP:** Grain filling period (day); **PLH:** Plant height (cm); **TKW:** 1000-kernel weight (g); **GY:** Grain yield (kg ha^{-1}); **SL:** Spike length; **SD:** Spike density; **AL:** Awning length.

در صد تغییرات را توجیه نموده است؛ بنابراین عدم انتباطگری کامل منطقی به نظر می‌رسد.

نتیجہ گیری

در مجموع نتایج نشان داد که براساس هر دو شاخص FAI-BLUP و MGIDI ژنوتیپ‌های G15 و G16 جزء ضعیف ترین ژنوتیپ‌ها هستند. در بین ژنوتیپ‌های FAI-BLUP، MGIDI و برتر، براساس شاخص‌های WB و G20 (گلچین) و G2 (اکسین)، ژنوتیپ‌های G1-10 (98%) جزء ژنوتیپ‌های شاهد بودند. از طرفی ژنوتیپ-های G3، G7، و G14 جزء ژنوتیپ‌های انتخابی بر اساس شاخص‌های مورد بررسی بودند. در بین ژنوتیپ-های انتخابی، ژنوتیپ G7 با یشتترین عملکرد دانه نسبت به همه ژنوتیپ‌های شاهد و برتر از نظر شاخص‌های FAI-BLUP و MGIDI جهت ارزیابی‌های دقیق‌تر قبل از معرفی به عنوان یک ژنوتیپ جدید برای مناطق جنوبی استان فارس معرفی می‌شود.

به منظور ارزیابی بهتر و گروه‌بندی ژنوتیپ‌های مورد بررسی، از تجزیه به مولفه‌های اصلی استفاده شد. نتایج تجزیه به مولفه‌های اصلی نشان داد که دو مولفه‌های اصلی اول و دوم به ترتیب $30/5$ و $20/6$ درصد و در مجموع $51/1$ درصد تغییرات را توجیه نمودند (شکل ۷). درصد پایین توجیه تغییرات توسط دو مولفه اول، به دلیل همبستگی پایین بین صفات در شرایط این تحقیق می‌باشد. نتایج نشان داد که ژنوتیپ‌های انتخابی براساس هر دو شاخص MGIDI و FAI-BLUP در ناحیه ۱ و ۲ نمودار PCA قرار دارند. در مجموع نتایج نشان داد که یک انطباق نسبی بین شاخص‌های مورد بررسی و تجزیه به مولفه‌های اصلی وجود دارد. در واقع انطباق بالایی بین شاخص‌های MGIDI با اولین مؤلفه اصلی اول وجود داشت و از طرفی دومین مؤلفه اصلی با شاخص FAI- BLUP انطباق بالایی نشان داد. احتمالاً با توجه به این که بای پلات تجزیه به مولفه‌های اصلی تنها حدود $51/1$

همکاران محترم ایستگاه تحقیقات کشاورزی داراب،
بخش غلات که در انجام این پژوهه ما را یاری نموده‌اند
کمال تشکر و قدردانی را داریم.

سپاس گزاری

این مقاله برگرفته از پژوهه ملی موسسه اصلاح و
تقویت نهال و بذر به شماره مصوب ۱۶۱-۰۰۱۲۴۰-۰۳۱۳-۰۳۰۴-۰۳-۰۳
می‌باشد. از موسسه اصلاح و تقویت نهال و بذر
به سبب تأمین هزینه‌های مالی و همچنین از تمامی

References

- Bengtsson, B. O. (1992). Barley genetics-not only here for the beer. *Trends in Genetics*, 8(1), 3–5.
- Benakanahalli, N. K., Sridhara, S., Ramesh, N., Olivoto, T., Sreekantappa, G., Tamam, N., Abdelbacki, A. M. M., Elansary, H. O. & Abdelmohsen, S. A. M. (2021). A framework for identification of stable genotypes based on MTSI and MGDI Indexes: an example in guar (*Cyamopsis tetragonoloba* L.). *Agronomy*, 11, 1221.
- Bhering, L. L., Laviola, B. G., Salgado, C. C., Sanchez, C. F. B., Rosado, T. T. & Alves, A. A. (2012). Genetic gains in physic nut using selection indexes. *Pesquisa Agropecuária Brasileira*, 47, 402–408.
- Bizari, E. H., Pedroso Val, B. H., Pereira, E. M., Di Mauro, A. O. & Uneda-Trevisoli, S. (2017). Selection indices for agronomic traits in segregating populations of soybean. *Revista Ciencia Agronomy*, 48, 110-117.
- Cerón-Rojas, J. J., Crossa, J., Sahagún-Castellanos, J., Castillo-González, F., & Santacruz-Varela, A. (2006). A selection index method based on eigen analysis. *Crop Science*, 46, 1711-1721.
- Hazel, L. N. (1943). The genetic basis for constructing selection indexes. *Genetics*, 28, 476-490.
- Hazel, L. H., Dickerson, G. E. & Freeman, A. E. (1994). The Selection index-then, now, and for the future. *Journal of Dairy Science*, 77(10), 3236-3251.
- Kassambara, A. & Mundt, F. (2020). Factoextra: Extract and visualize the results of multivariate data analyses. R package version 1.0.7. <https://CRAN.R-project.org/package=factoextra>.
- Olivoto, T. & Lúcio, A.D. (2020). Metan: an R package for multi-environment trial analysis. *Methods in Ecology and Evolution*, 11(6), 783-789.
- Olivoto, T. & Nardino, M. (2020). MGIDI: A novel multi-trait index for genotype selection in plant breeding. *Bioinformatics*, 1-22.
- Pour-Aboughadareh, A. & Poczaib, P. (2021a). Dataset on the use of MGIDI index in screening drought-tolerant wild wheat accessions at the early growth stage. *Data in Brief*, 36, 107596.
- Pour-Aboughadareh, A., Barati, A., Koohkan, S. A., Jabari, M., Marzoghian, A., Gholipoor, A., Shahbazi-Homonloom, K., Zali, H., Poodineh, O. & Kheirgo, M. (2022). Dissection of genotype-by-environment interaction and yield stability analysis in barley using AMMI model and stability statistics. *Bulletin of the National Research Centre*, 46(19), 4-12.
- Pour-Aboughadareh, A., Barati, A., Gholipoor, A. Zali, H., Marzoghian, A., Koohkan, S. A. Shahbazi-Homonloo, K. & Houseinpour, A. (2023a). Deciphering genotype-by-environment interaction in barley genotypes using different adaptability and stability methods. *Crop Breeding and Applied Biotechnology*, 26, 547-562.
- Pour-Aboughadareh, A., Koohkan, S., Zali, H., Marzooghian, A., Gholipour, A., Kheirgo, M., Barati, A., Bocianowski, J. & Askari-Kelestani, A. (2023b). Identification of high-yielding genotypes of barley in the warm regions of Iran. *Plants*. 12(22): 1-13.
- Pureisa, M., Nabipour , M. & Meskarbashee, M. (2015). Investigating of grain growth and contribution of stem reserves in grain yield of barley (*Hordeum vulgare* L.) cultivars under terminal drought conditions. *Plant Productions*, 38(1), 41-53. [In Persian]

- Resende, M.D.V. (2016). Software Selegen-REML/BLUP: A useful tool for plant breeding. *Crop Breeding and Applied Biotechnology*, 16, 330-339.
- Rocha J.R.dA.S.dC., Machado, J.C. & Carneiro, P.C.S. (2018). Multitrait index based on factor analysis and ideotype-design: Proposal and application on elephant grass breeding for bioenergy. *Global Change Biology and Bioenergy*, 10(1), 52-60.
- Shayan. S., Vahed, M. M., Mohammadi, S. A., Ghassemi-Golezani, K., Sadeghpour, F., & Yousefi, A. (2020). Genetic diversity and grouping of winter barley genotypes for root characteristics and ISSR markers. *Plant Productions*, 43(3), 323-336. [In Persian]
- Shirzad, A., Asghari, A., Zali, H., Sofalian, O., & Mohammaddoust Chamanabad, H. (2022a). Application of the multi-trait genotype-ideotype distance index in the selection of top barley genotypes in the warm and dry region of Darab. *Journal of Crop Breeding*, 14(44), 65-76.
- Smith, H. F. (1936). A discriminant function for plant selection. *Annals Eugenics*, 7, 240-250.
- Stephens, M. J., Alspach, P. A., Beatson, R. A., Winefield, C., & Buck, E. J. (2012). Genetic parameters and development of a selection index for breeding red raspberries for processing. *Journal of the American Society of Horticultural Science*, 137, 236-242.
- Volpato, L., Rocha, J. R. D. A. S. D. C., Alves, R. S., Ludke, W. H., Borém, A. & Silva, F. L. D. (2021). Inference of population effect and progeny selection via a multi-trait index in soybean breeding. *Acta Scientiarum Agronomy*, 43, 1-10.
- Zali, H., Barati, A. & Pour-Aboughadareha, A. (2023a). Screening of barley elite genotypes using different selection indices based on multi-trait. *Crop Production Journal*, 15 (4), 159-182.
- Zali, H., Barati, A., Pour-Aboughadareh, A., Gholipour, A., Koohkan, S., Marzoghiyan, A., Bocianowski, J., Bujak, H. & Nowosad, K. (2023b). Identification of superior barley genotypes using selection index of ideal genotype (SIIG). *Plants*, 12(9), 1843.